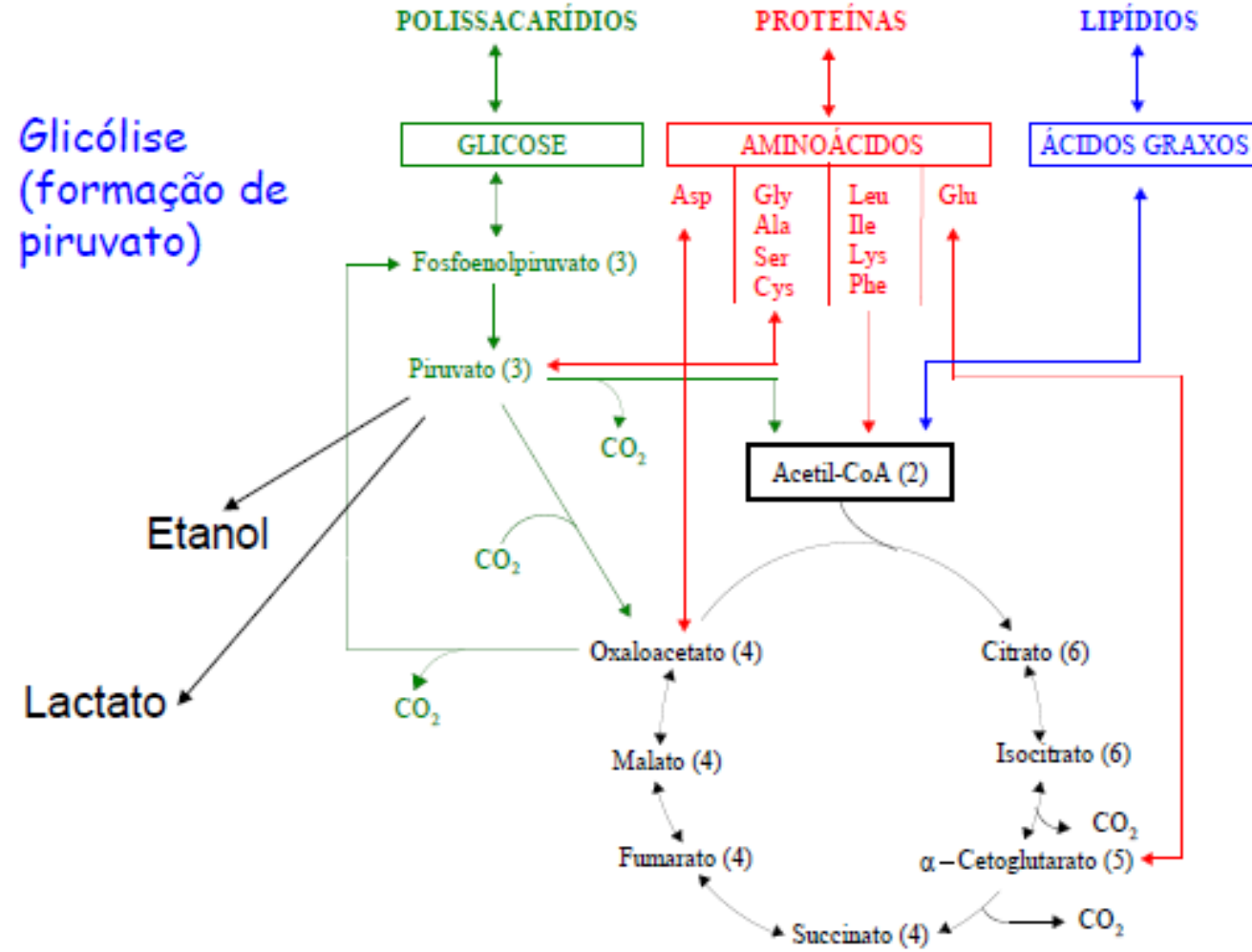


# Via Glicolítica

## Utilização da glicose pelas células



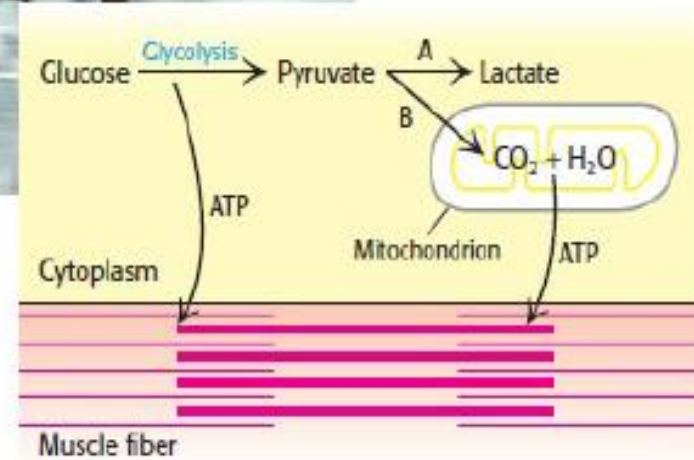
## MAPA II




# Vias de degradação da glicose



Usain Bolt sprints to a win in the 200-meter finals at the Olympics in Rio de Janeiro in 2016. Glucose metabolism can generate the ATP to power muscle contraction. During a sprint, when the ATP needs outpace oxygen delivery, as would be the case for Bolt, glucose is metabolized to lactate. When oxygen delivery is adequate, glucose is metabolized more efficiently to carbon dioxide and water. [Odd Andersen/Getty Images.]



- A. Low  $O_2$   
(last seconds of a sprint)
- B. Normal  
(long, slow run)



<https://www.youtube.com/watch?v=hDq1rhUkV-g>

<http://www.iubmb-nicholson.org/mp4/glycolysis.mp4>

<https://www.youtube.com/watch?v=WISpTBUDXoI>



## Importância da Glicólise

- 1 - Principal meio de degradação da glicose.
- 2 - Obtenção de Energia mesmo em condições anaeróbias.
- 3 - Principal via de obtenção de energia nos eritrocitos, medula renal, cérebro e esperma.



# Como a glicose é transportada para dentro das células

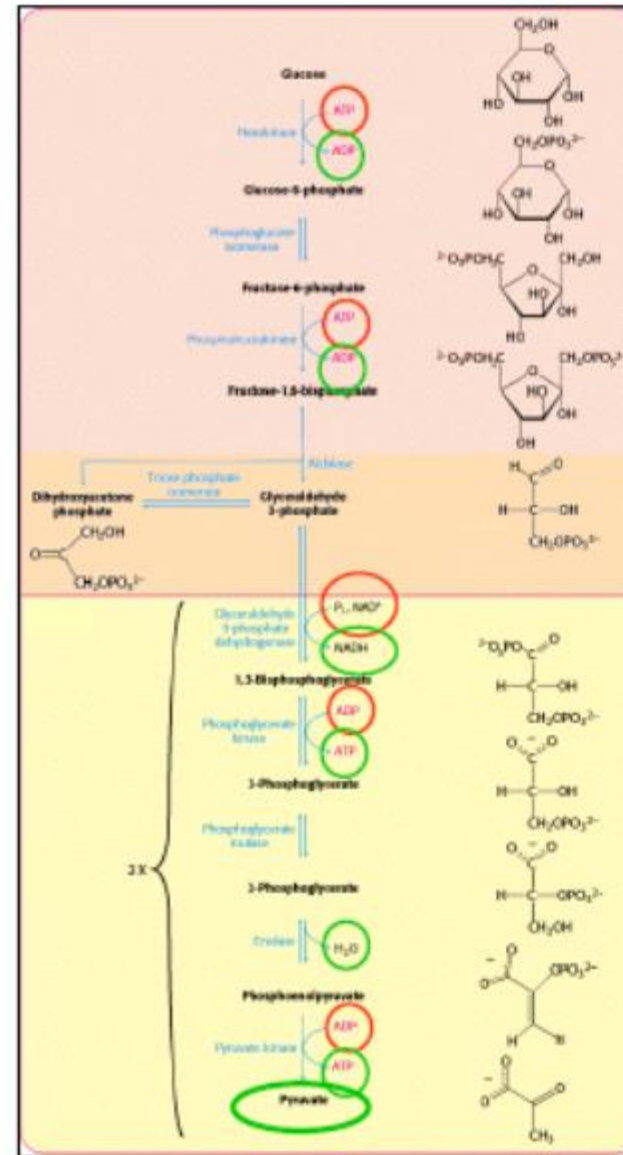


**TABLE 16.4** Family of glucose transporters

| Name  | Tissue location                    | $K_M$    | Comments  |
|-------|------------------------------------|----------|---|
| GLUT1 | All mammalian tissues              | 1 mM     | Basal glucose uptake  |
| GLUT2 | Liver and pancreatic $\beta$ cells | 15–20 mM | In the pancreas, plays a role in the regulation of insulin<br>In the liver, removes excess glucose from the blood |
| GLUT3 | All mammalian tissues              | 1 mM     | Basal glucose uptake  |
| GLUT4 | Muscle and fat cells               | 5 mM     | Amount in muscle plasma membrane increases with endurance training  |
| GLUT5 | Small intestine                    | —        | Primarily a fructose transporter  |



## 1- Ativação ou Fosforilação da Glicose



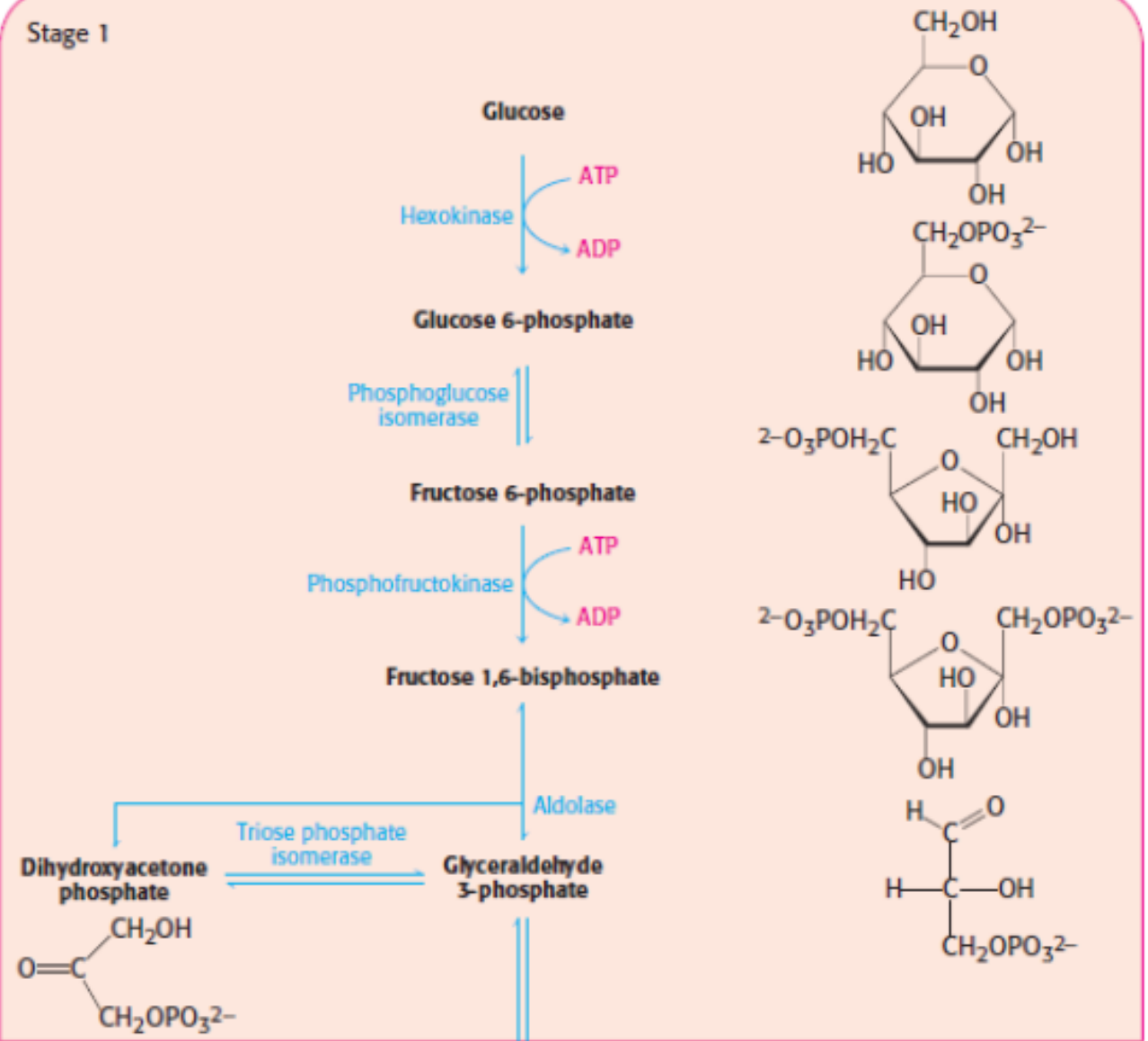
Fase preparatória

Fase compensatória

## 2- Transformação do Gliceraldeído em Piruvato

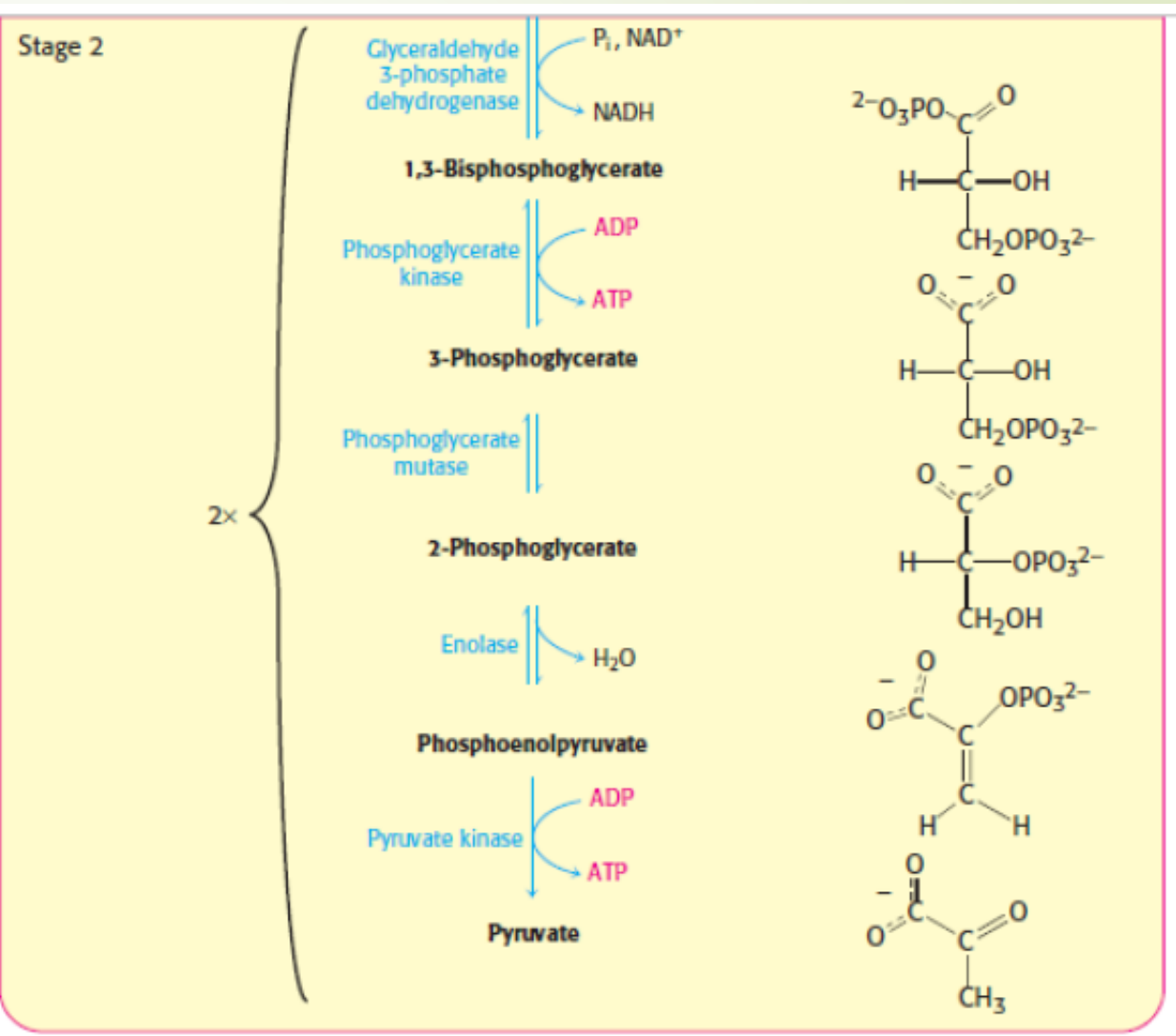
# Fase preparatoria

Stage 1

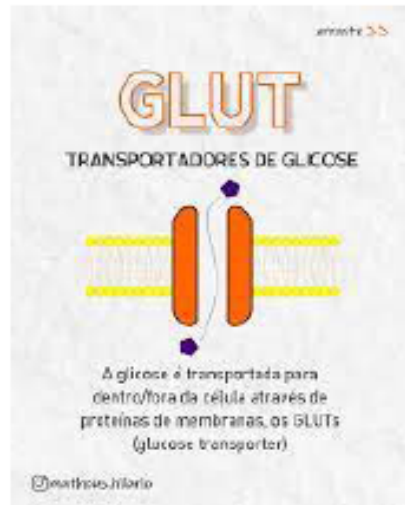




# Fase compensatoria



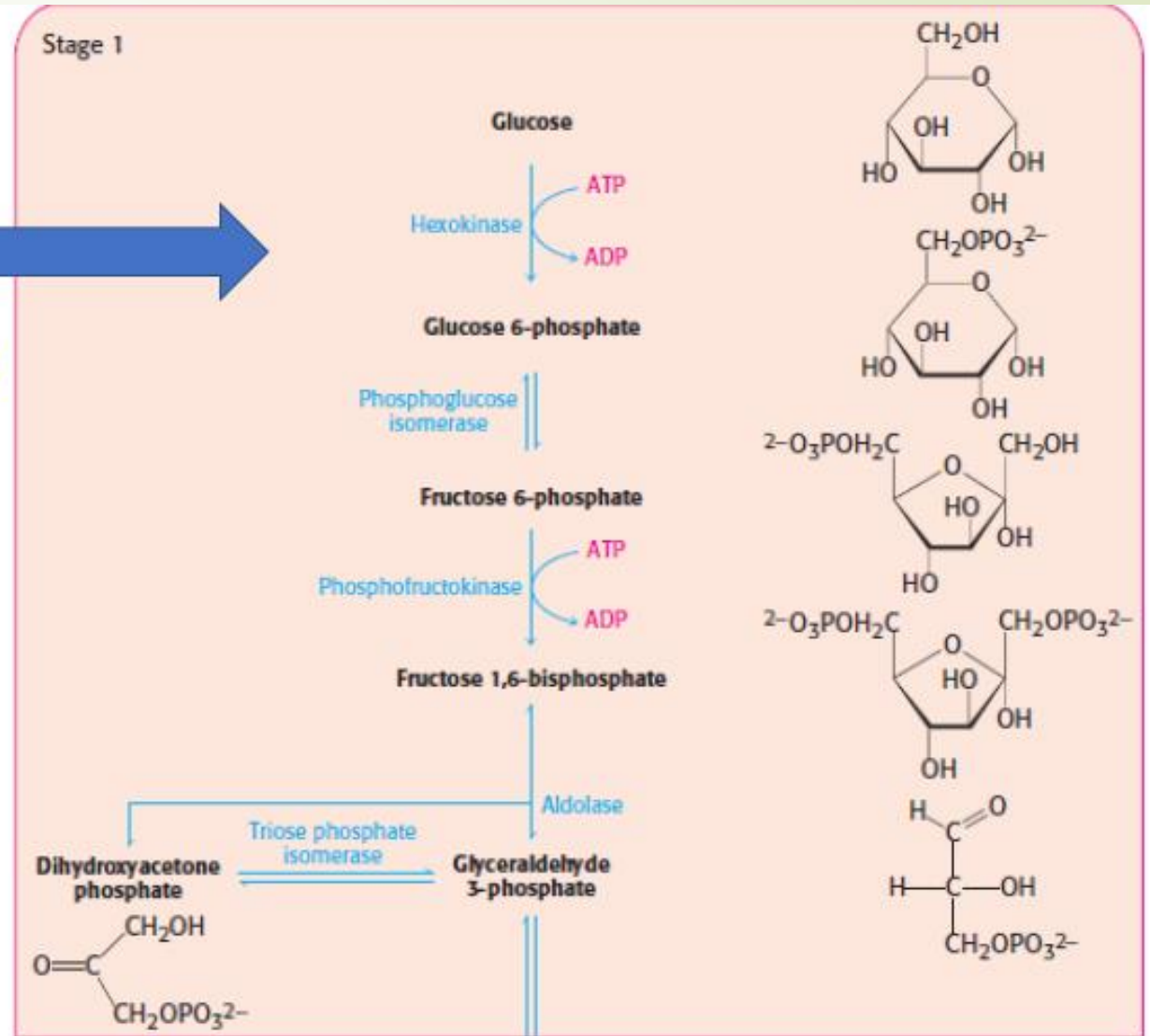
# Como a glicose é transportada para dentro das células



**TABLE 16.4** Family of glucose transporters

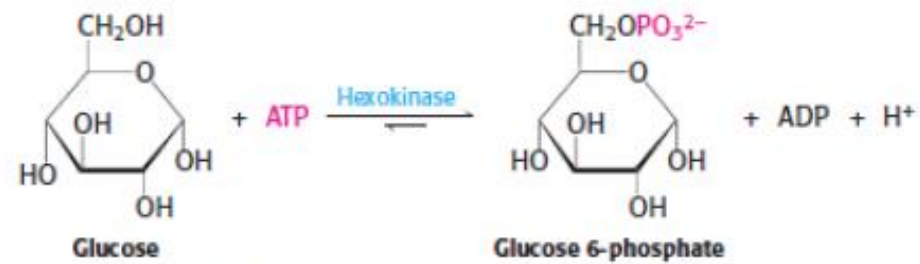
| Name  | Tissue location                    | $K_M$    | Comments  |
|-------|------------------------------------|----------|---|
| GLUT1 | All mammalian tissues              | 1 mM     | Basal glucose uptake  |
| GLUT2 | Liver and pancreatic $\beta$ cells | 15–20 mM | In the pancreas, plays a role in the regulation of insulin<br>In the liver, removes excess glucose from the blood |
| GLUT3 | All mammalian tissues              | 1 mM     | Basal glucose uptake  |
| GLUT4 | Muscle and fat cells               | 5 mM     | Amount in muscle plasma membrane increases with endurance training  |
| GLUT5 | Small intestine                    | —        | Primarily a fructose transporter  |

# Activação ou Fosforilação da Glicose

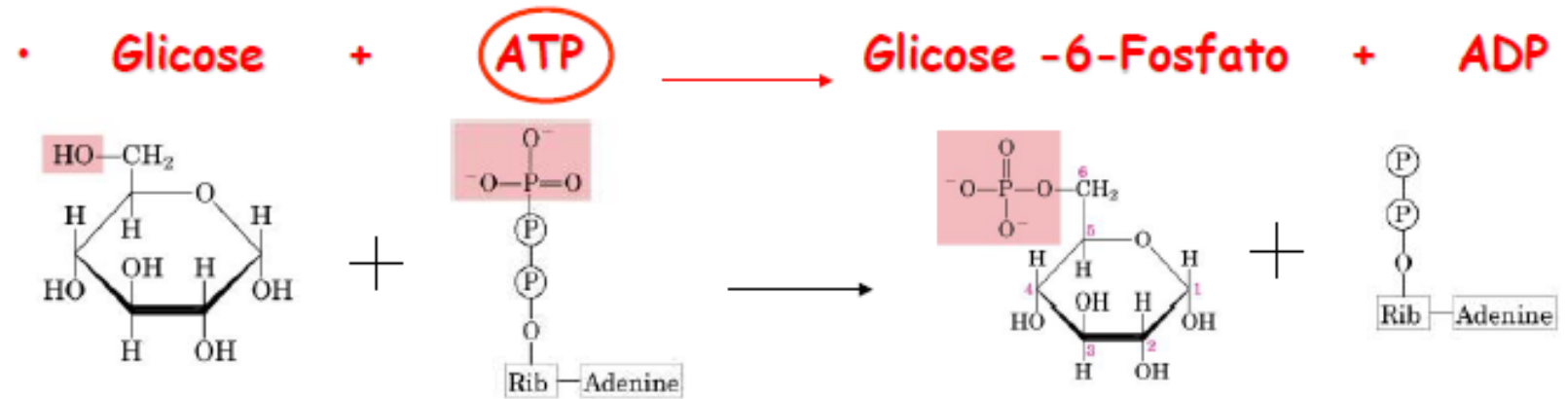


Permite a entrada da *Glicose* no *Metabolismo Intracelular*  
A *Glicose-6-P* não passa pela membrana plasmática

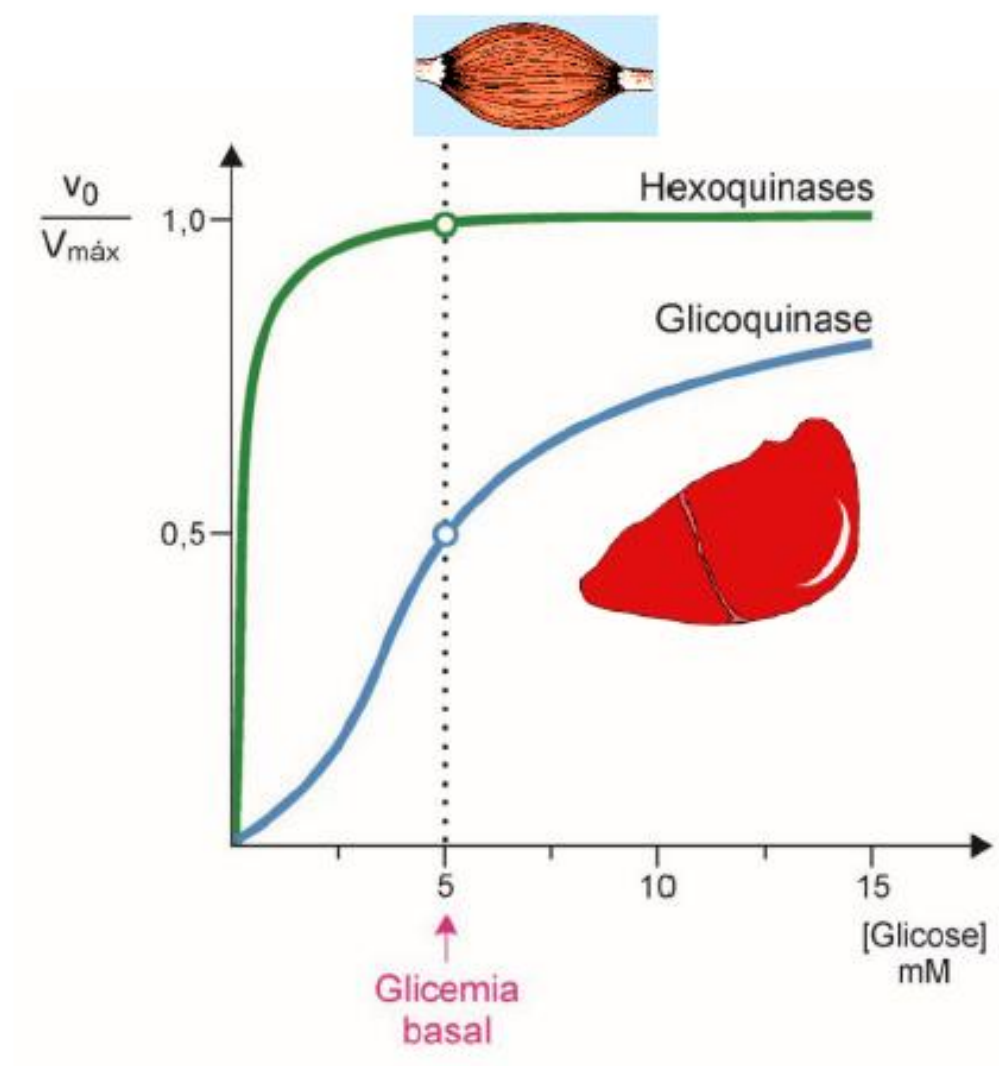
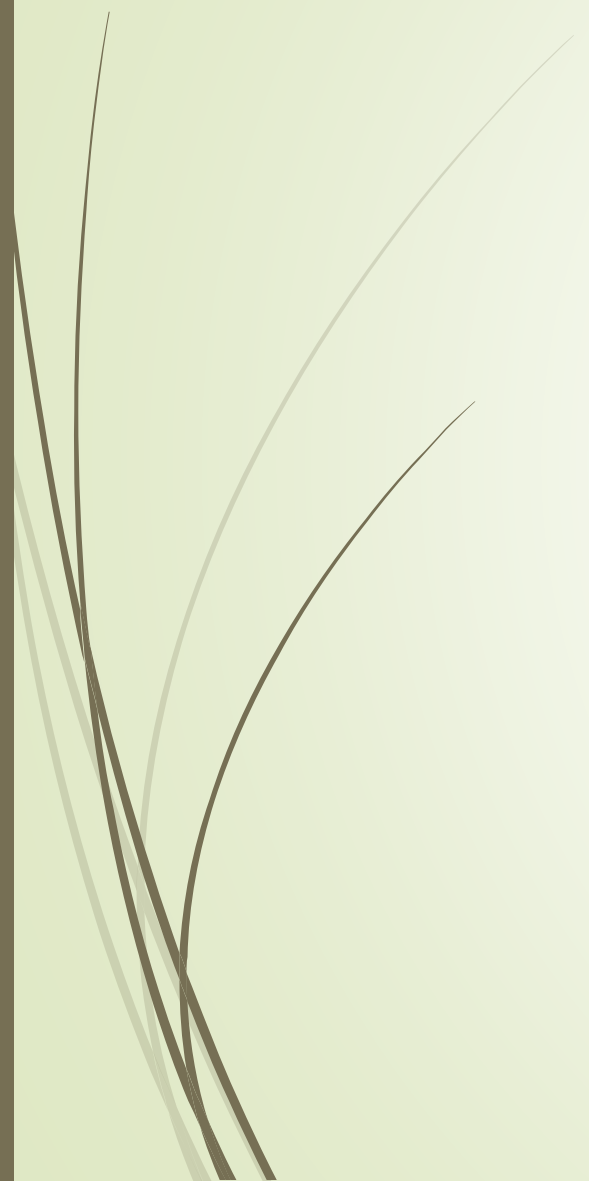
→ *Reação irreversível*



# hexoquinase







Stage 1



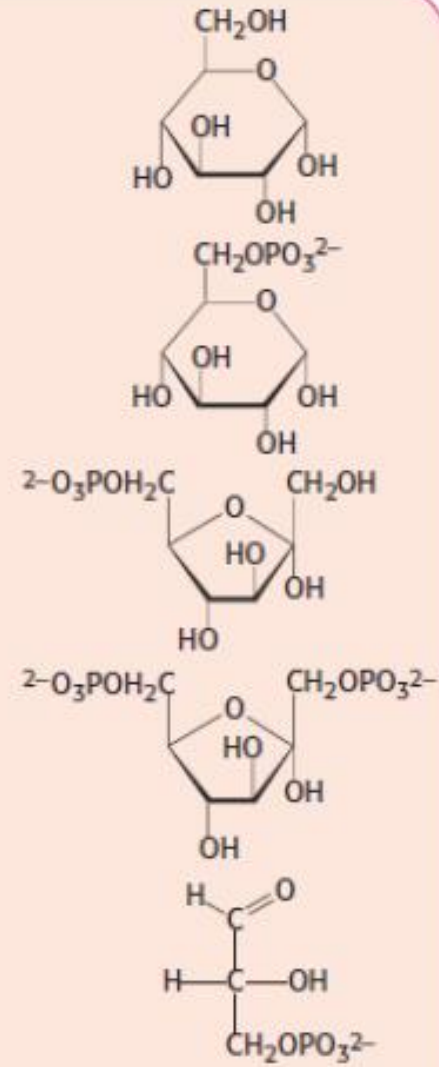
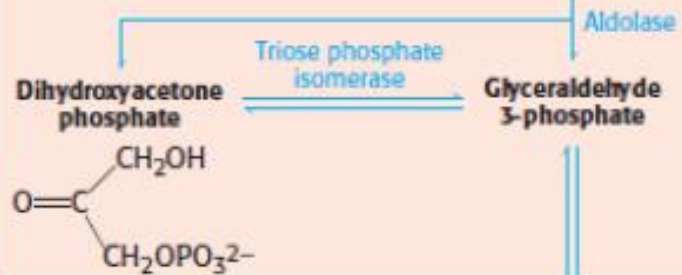
Glucose 6-phosphate



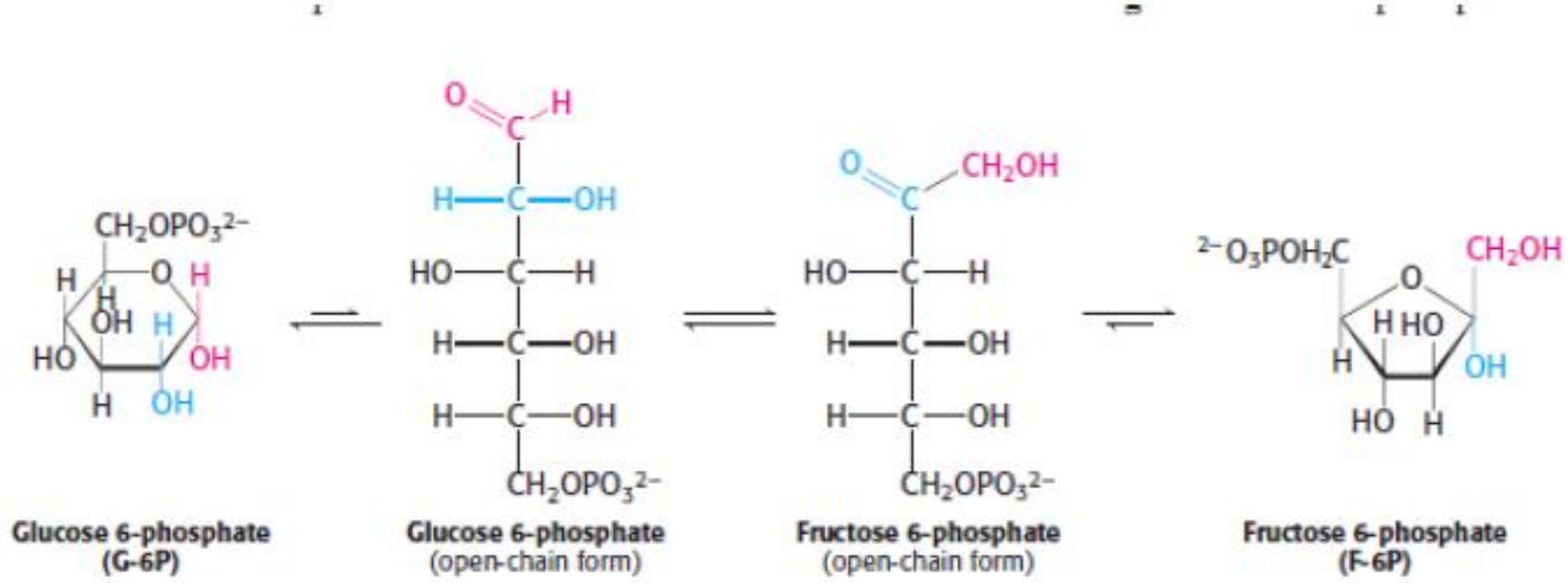
Fructose 6-phosphate



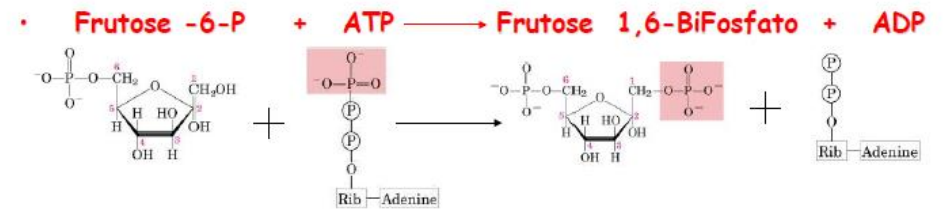
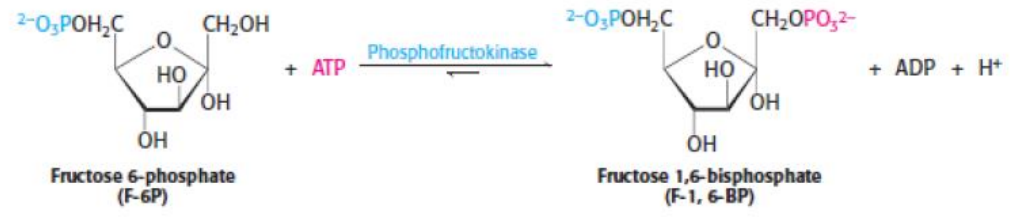
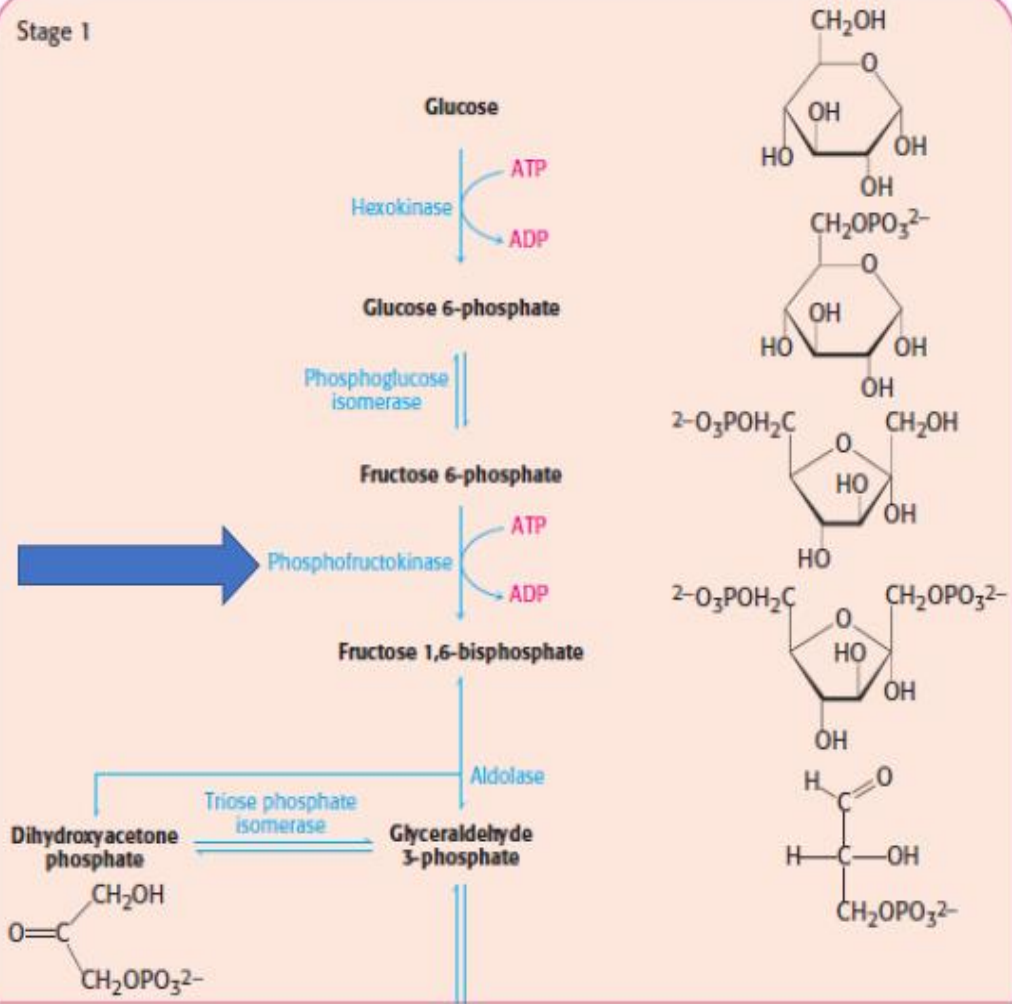
Fructose 1,6-bisphosphate



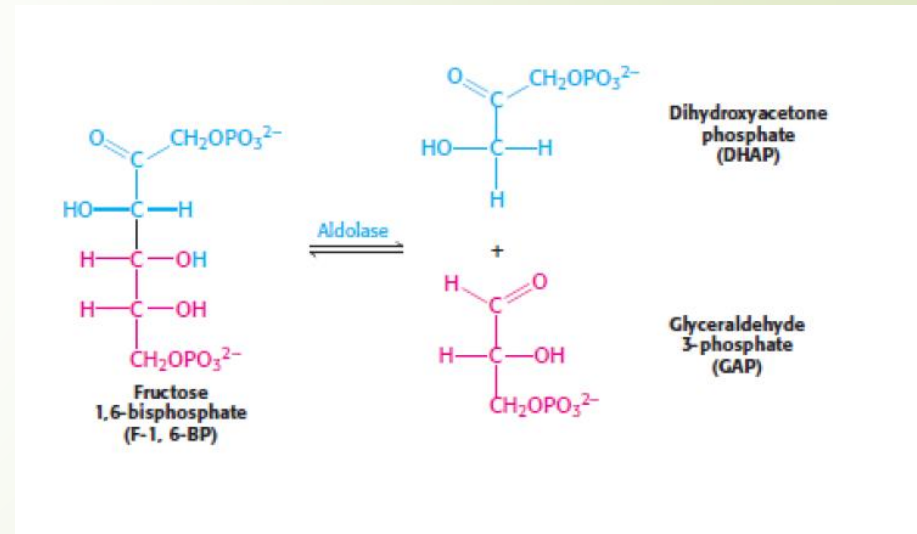
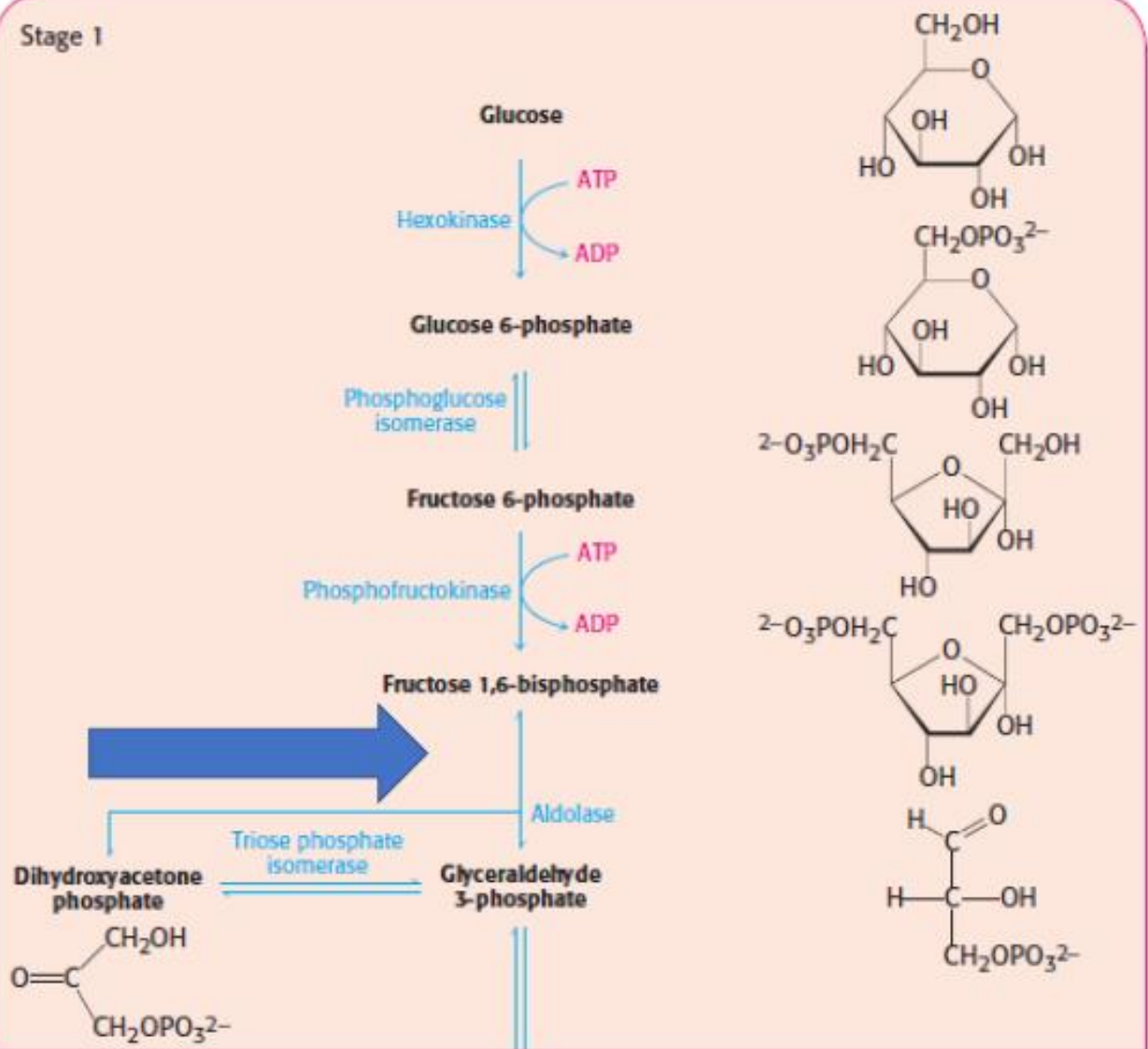
# Fosfoglicose isomerase (Aldose para Cetose)



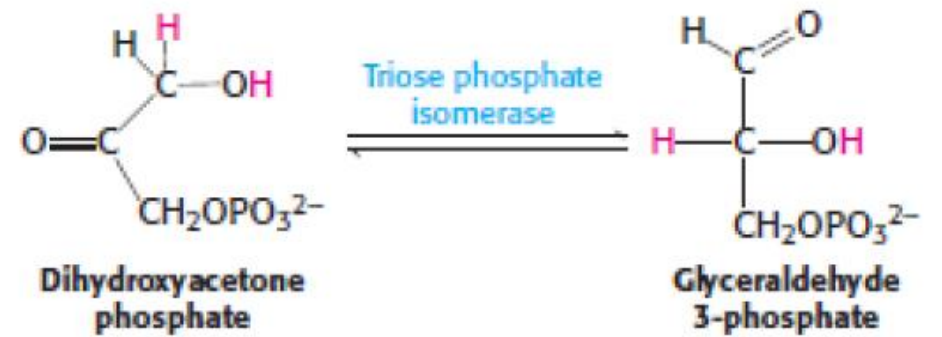
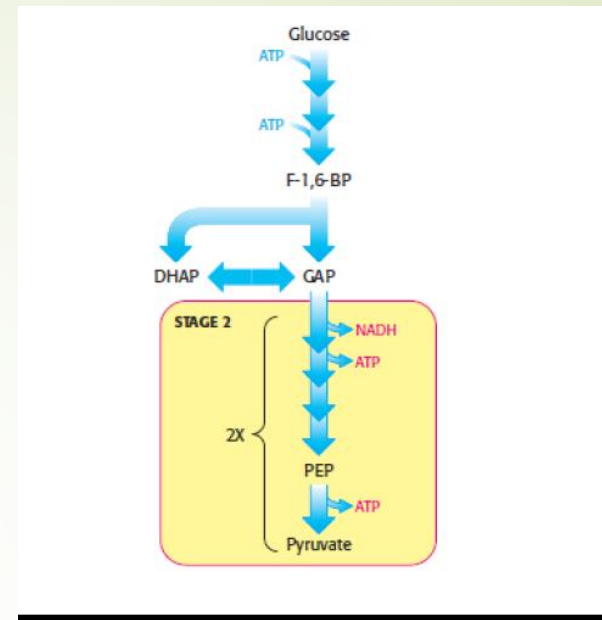
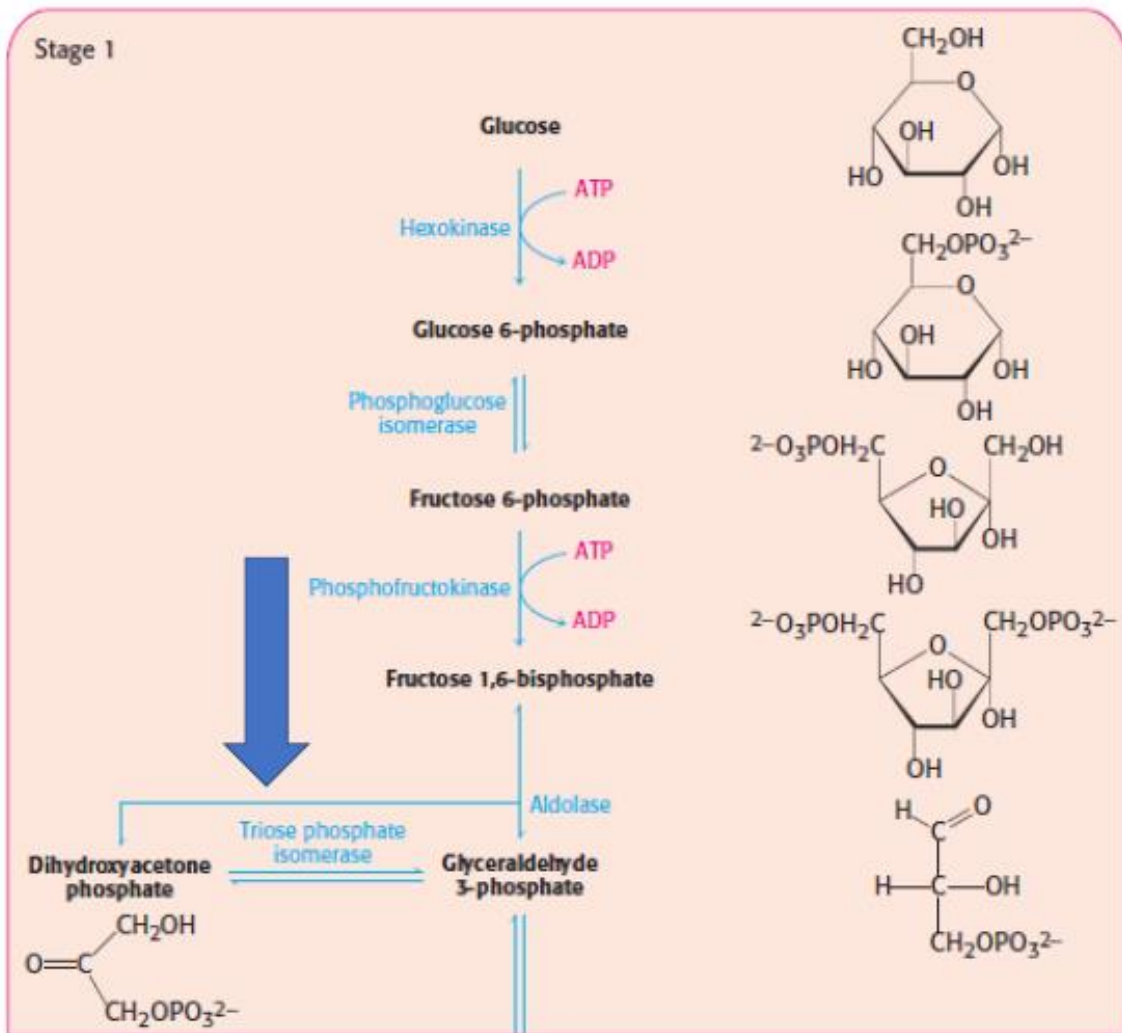
Stage 1



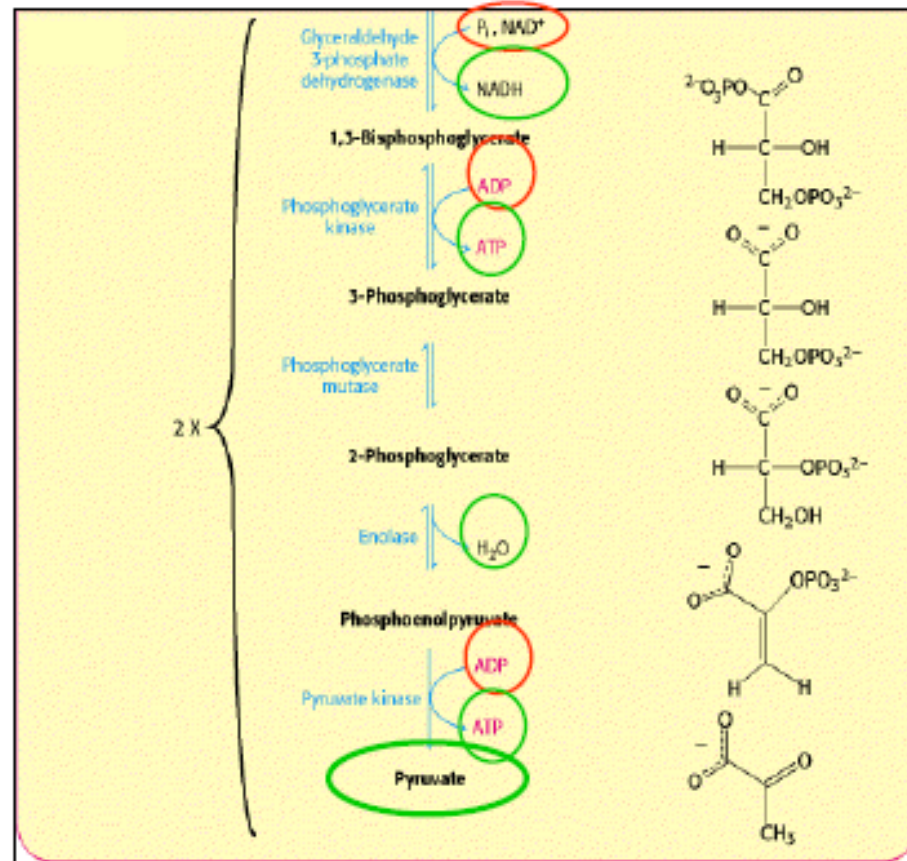
Stage 1







# Transformação do Gliceraldeído em Piruvato



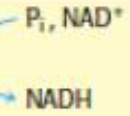
Fase compensatória

Stage 2



2x

Glyceraldehyde 3-phosphate dehydrogenase



1,3-Bisphosphoglycerate

Phosphoglycerate kinase



3-Phosphoglycerate

Phosphoglycerate mutase

2-Phosphoglycerate

Enolase

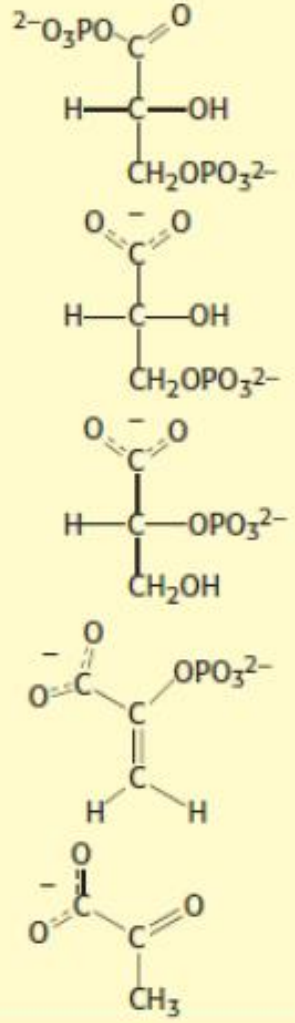


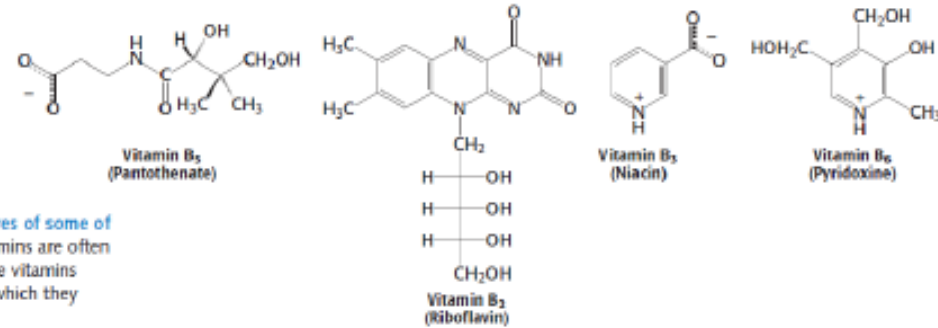
Phosphoenolpyruvate

Pyruvate kinase



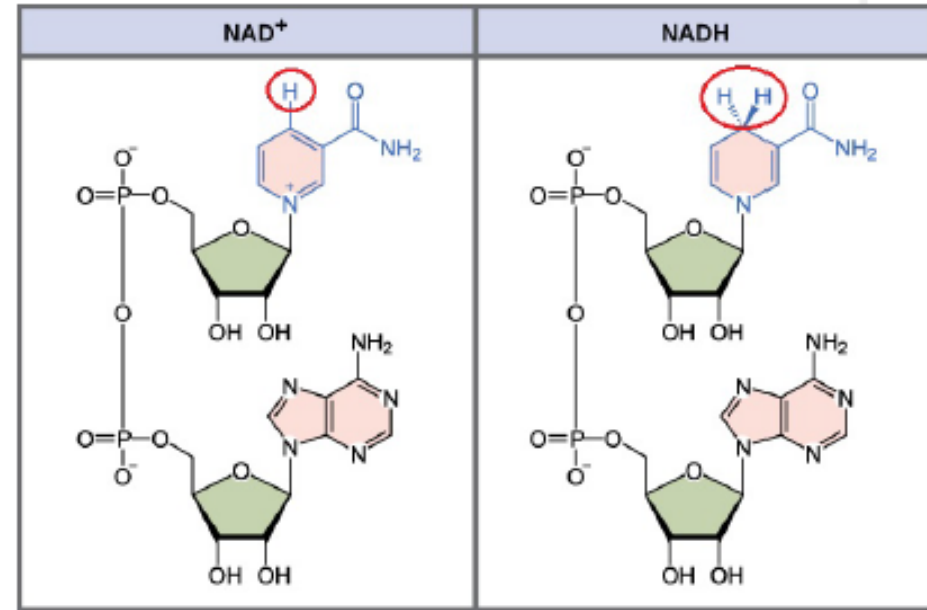
Pyruvate

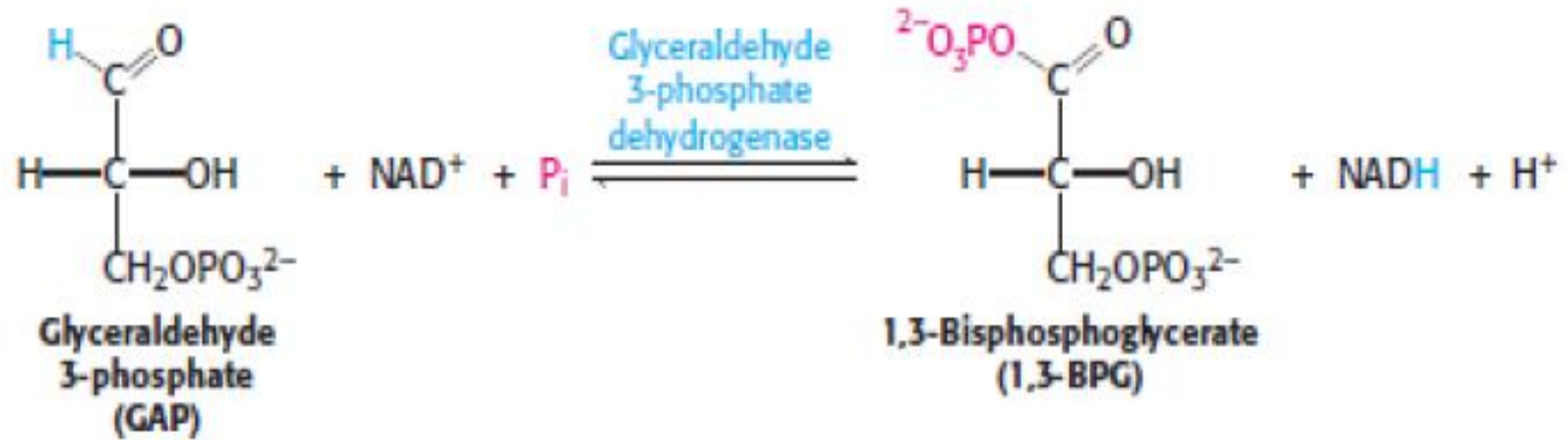




**FIGURE 15.17** Structures of some of the B vitamins. These vitamins are often referred to as water-soluble vitamins because of the ease with which they dissolve in water.

## Dinucleótido de nicotinamida e adenina



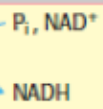




Stage 2

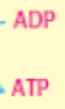


Glyceraldehyde 3-phosphate dehydrogenase



1,3-Bisphosphoglycerate

Phosphoglycerate kinase



3-Phosphoglycerate

Phosphoglycerate mutase

2x

2-Phosphoglycerate

Enolase

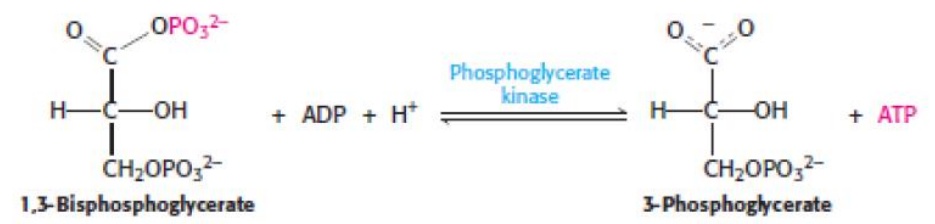
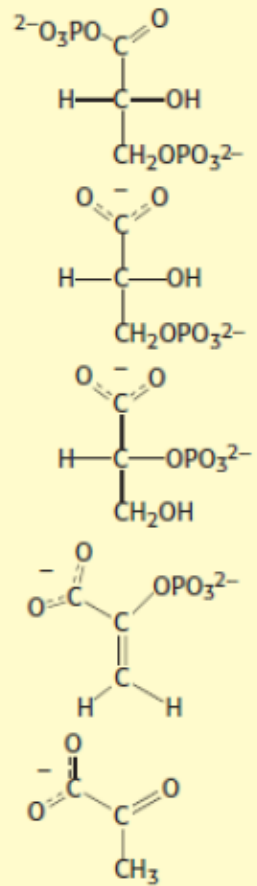


Phosphoenolpyruvate

Pyruvate kinase



Pyruvate



Stage 2

Glyceraldehyde  
3-phosphate  
dehydrogenase

P<sub>i</sub>, NAD<sup>+</sup>  
NADH

1,3-Bisphosphoglycerate

Phosphoglycerate  
kinase

ADP  
ATP

3-Phosphoglycerate

Phosphoglycerate  
mutase

2×

2-Phosphoglycerate

Enolase

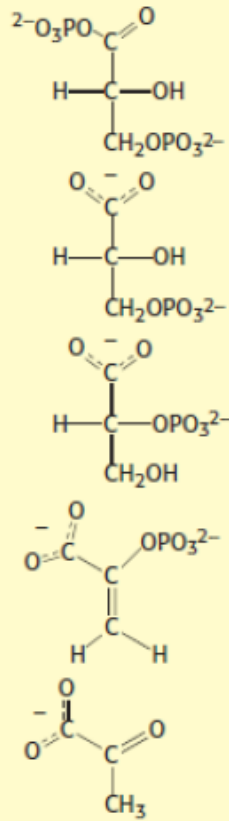
H<sub>2</sub>O

Phosphoenolpyruvate

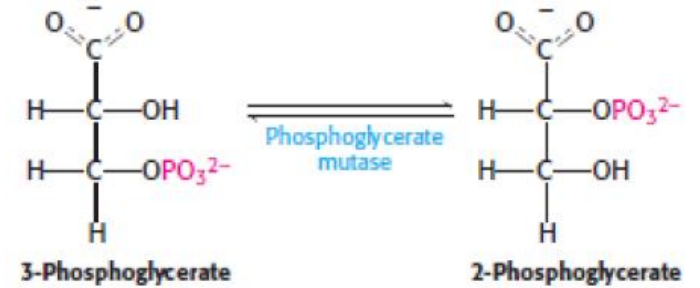
Pyruvate kinase

ADP  
ATP

Pyruvate



"Mutase", muda o Grupo Fosfato de Posição dentro da Molécula



Stage 2

Glyceraldehyde  
3-phosphate  
dehydrogenase

P<sub>i</sub>, NAD<sup>+</sup>  
NADH

1,3-Bisphosphoglycerate

Phosphoglycerate  
kinase

ADP  
ATP

3-Phosphoglycerate

Phosphoglycerate  
mutase

2×

2-Phosphoglycerate

Enolase

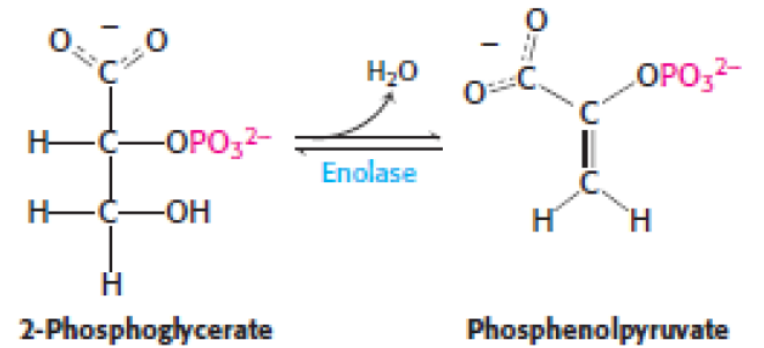
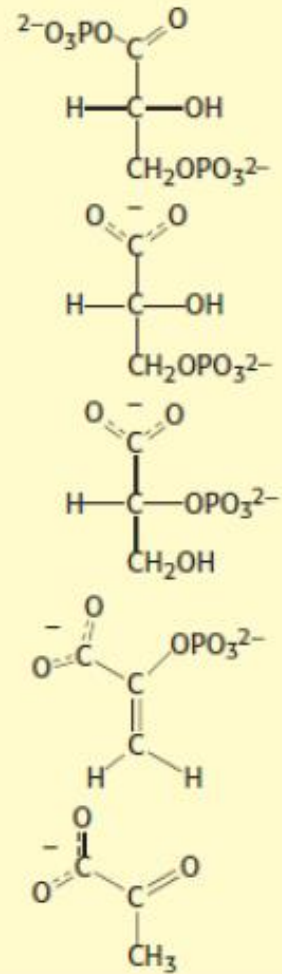
H<sub>2</sub>O

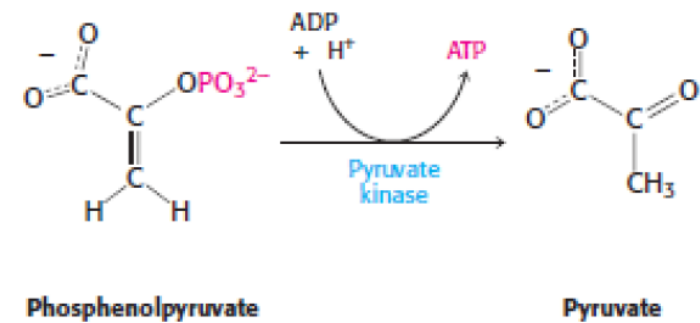
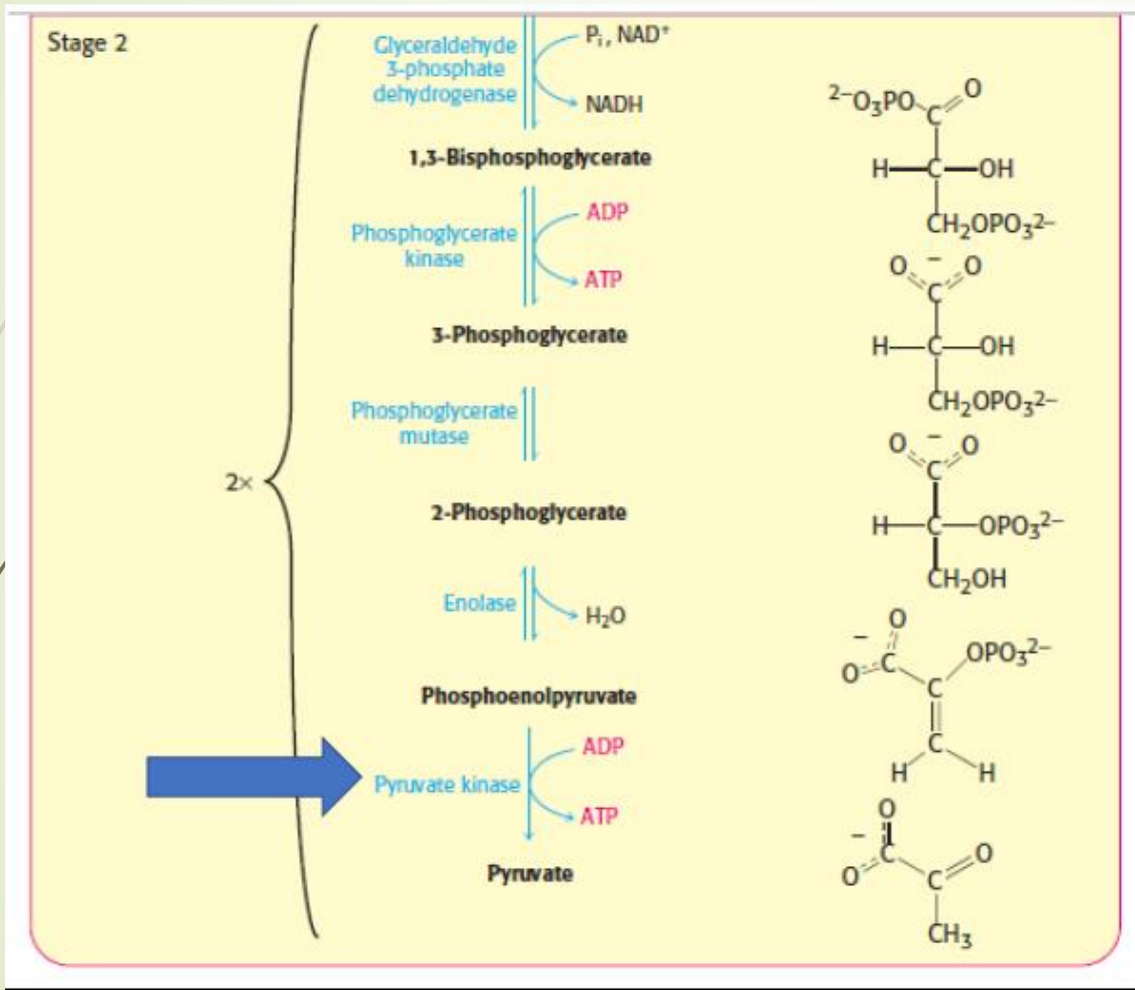
Phosphoenolpyruvate

Pyruvate kinase

ADP  
ATP

Pyruvate





- > Reacção Exorgónica Irreversível
- > Transferencia do Grupo Fosfato do Fosfoenolpiruvato para o ADP

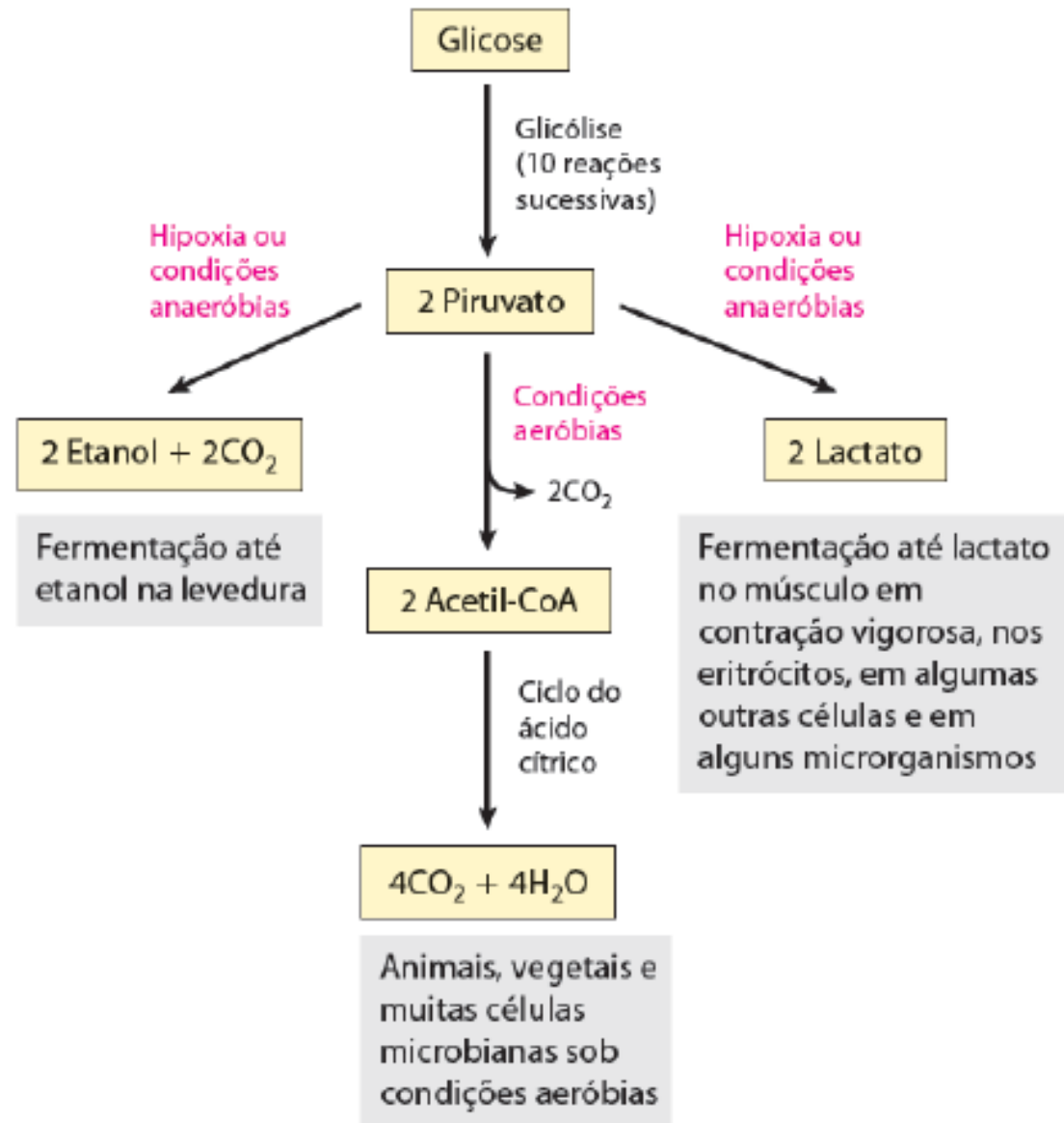
**TABELA 14-2** Variação de energia livre das reações glicolíticas em eritrócitos

| Etapa da reação glicolítica  | $\Delta G'^{\circ}$ (kJ/mol) | $\Delta G$ (kJ/mol) |
|--|------------------------------|---------------------|
| ① Glicose + ATP $\longrightarrow$ glicose-6-fosfato + ADP  | -16,7                        | -83,4               |
| ② Glicose-6-fosfato $\rightleftharpoons$ frutose-6-fosfato   | 1,7                          | 0 a 25              |
| ③ Frutose-6-fosfato + ATP $\longrightarrow$ frutose-1,6-bifosfato + ADP                                | -14,2                        | -22,2               |
| ④ Frutose-1,6-bifosfato $\rightleftharpoons$ di-hidroxiacetona-fosfato + gliceraldeído-3-fosfato       | 23,8                         | -6 a 0              |
| ⑤ Di-hidroxiacetona-fosfato $\rightleftharpoons$ gliceraldeído-3-fosfato                               | 7,5                          | 0 a 4               |
| ⑥ Gliceraldeído-3-fosfato + $P_i$ + $NAD^+$ $\rightleftharpoons$ 1,3-bifosfoglicerato + $NADH$ + $H^+$ | 6,3                          | -2 a 2              |
| ⑦ 1,3-Bifosfoglicerato + ADP $\rightleftharpoons$ 3-fosfoglicerato + ATP                               | -18,8                        | 0 a 2               |
| ⑧ 3-Fosfoglicerato $\rightleftharpoons$ 2-fosfoglicerato   | 4,4                          | 0 a 0,8             |
| ⑨ 2-Fosfoglicerato $\rightleftharpoons$ fosfoenolpiruvato + $H_2O$                                     | 7,5                          | 0 a 3,3             |
| ⑩ Fosfoenolpiruvato + ADP $\longrightarrow$ piruvato + ATP   | -31,4                        | -16,7               |

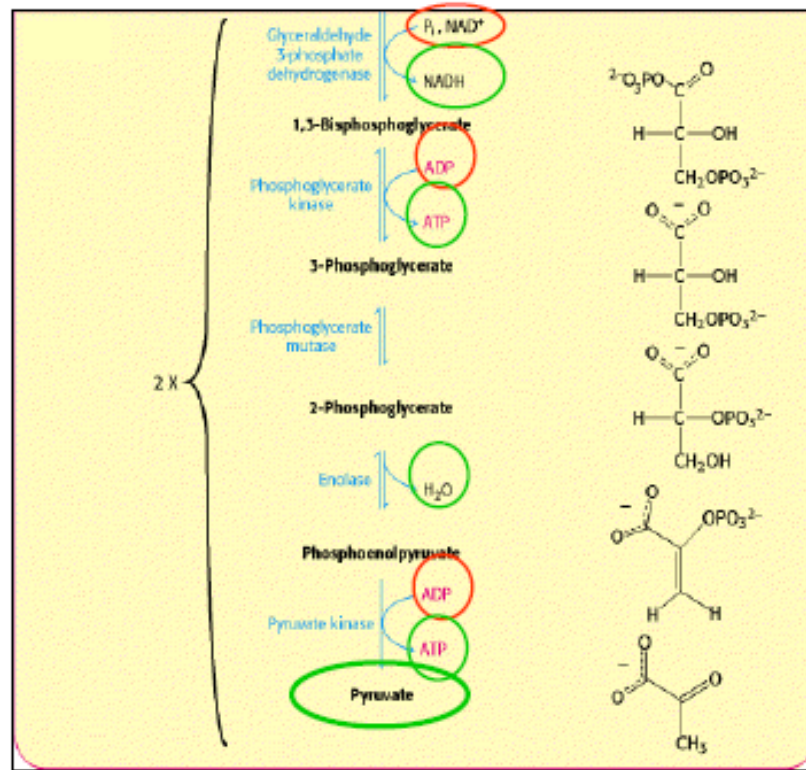
**Nota:**  $\Delta G'^{\circ}$  é a variação de energia livre padrão, como definido no Capítulo 13 (p. 507-508).  $\Delta G$  é a variação de energia livre calculada a partir das concentrações reais dos intermediários glicolíticos presentes em condições fisiológicas nos eritrócitos, em pH 7. As reações glicolíticas de contorno da gliconeogênese estão mostradas em vermelho. As equações bioquímicas não são necessariamente equilibradas para H ou carga (p. 517).



## Destinos do piruvato

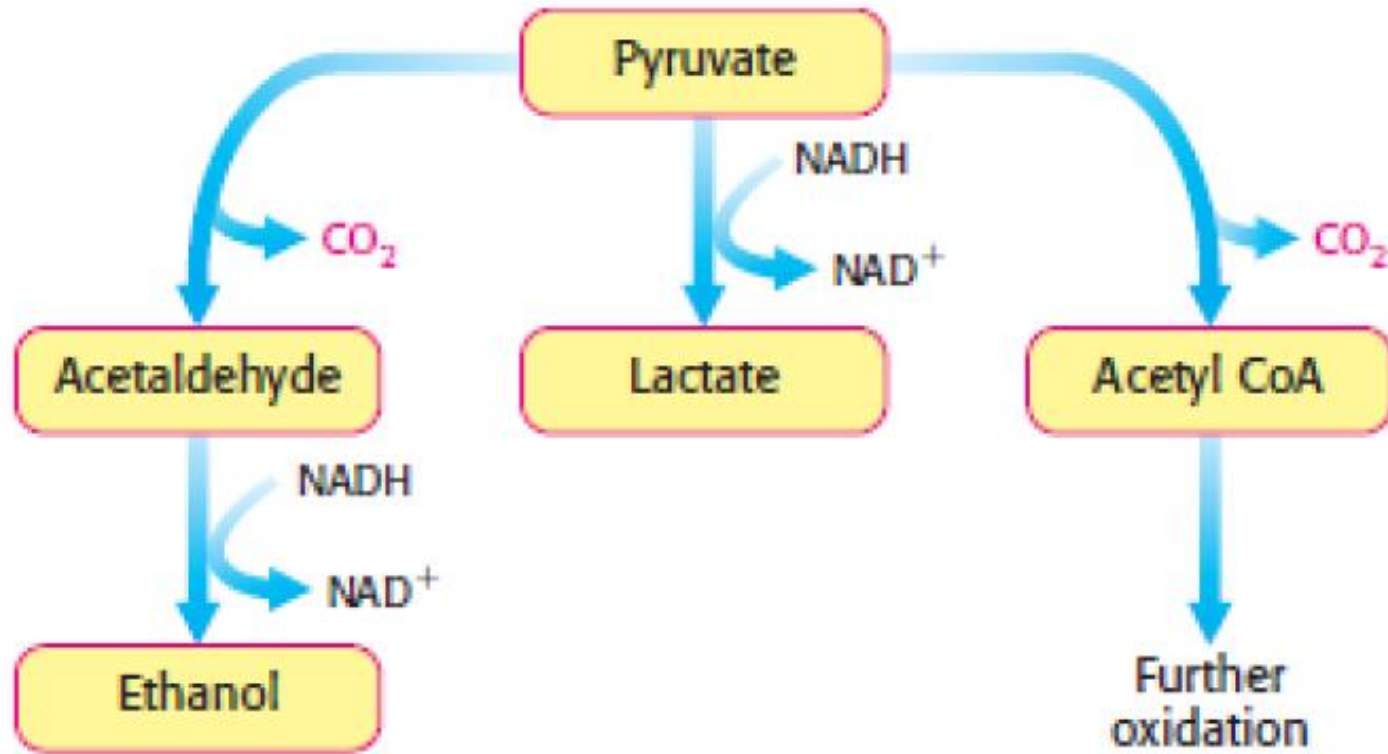


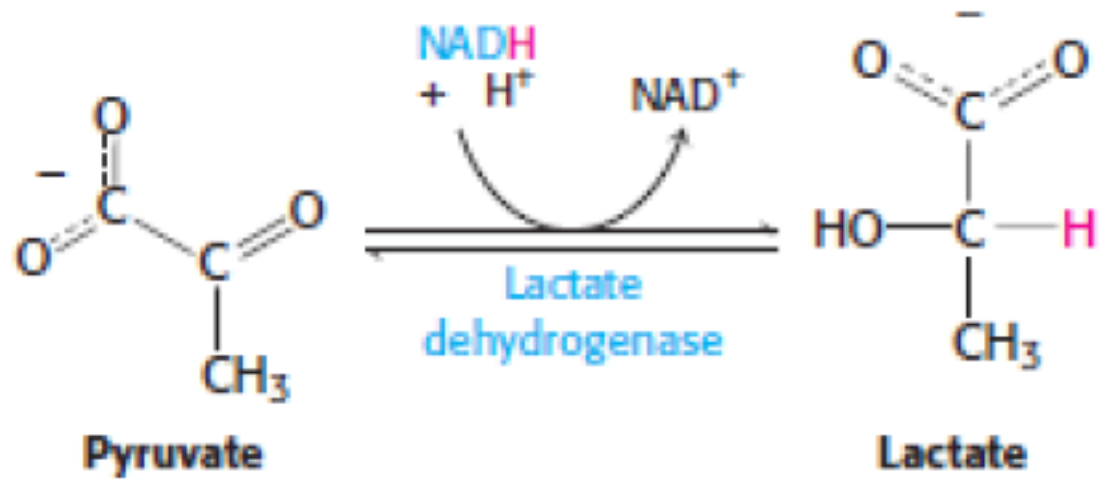
# Transformação do Gliceraldeído em Piruvato

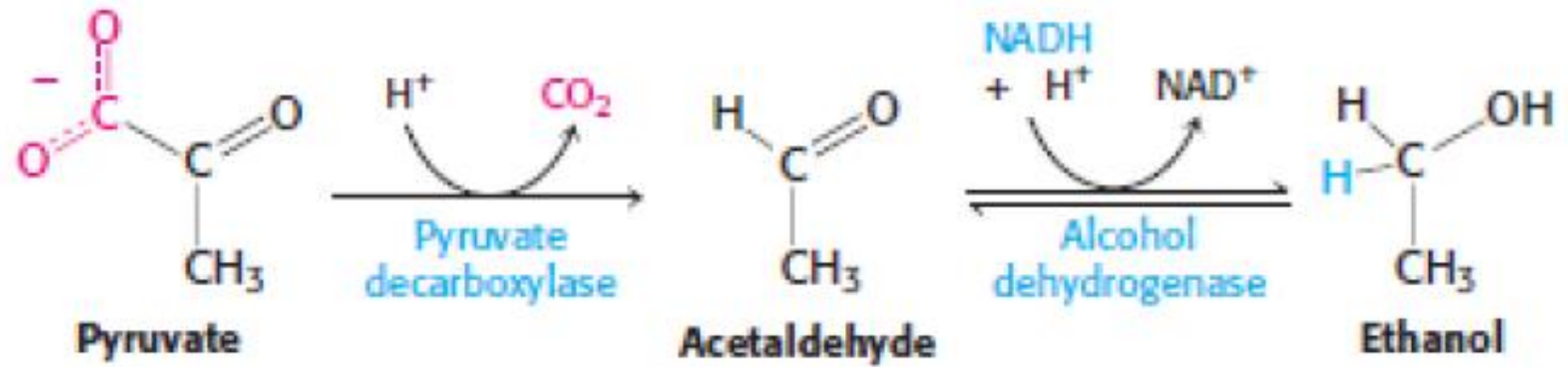


Fase compensatória  
Requer NAD<sup>+</sup>

## De onde vem o $\text{NAD}^+$ ?



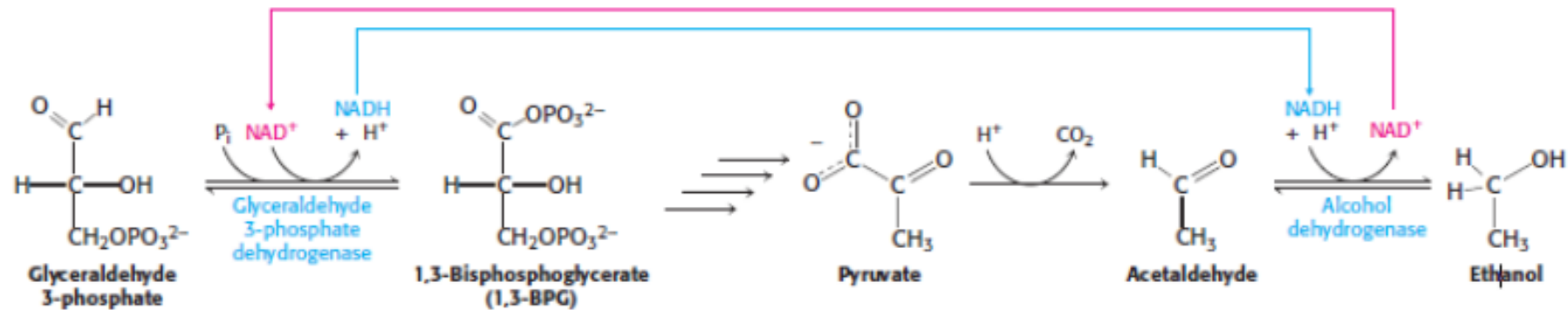
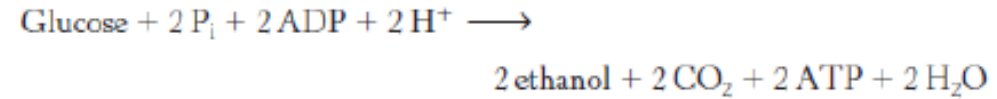






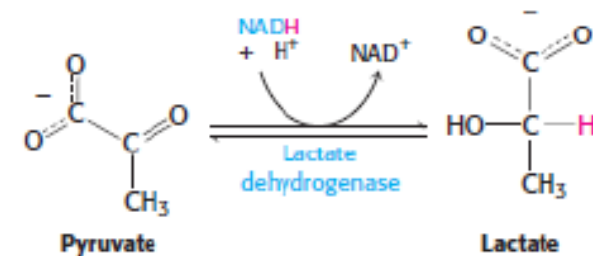


- 1 Glucose + ATP  $\rightarrow$  glucose 6-phosphate + ADP + H<sup>+</sup>
- 2 Glucose 6-phosphate  $\rightleftharpoons$  fructose 6-phosphate
- 3 Fructose 6-phosphate + ATP  $\rightarrow$  fructose 1,6-bisphosphate + ADP + H<sup>+</sup>
- 4 Fructose 1,6-bisphosphate  $\rightleftharpoons$   
dihydroxyacetone phosphate + glyceraldehyde 3-phosphate
- 5 Dihydroxyacetone phosphate  $\rightleftharpoons$  glyceraldehyde 3-phosphate
- 6 Glyceraldehyde 3-phosphate + P<sub>i</sub> + NAD<sup>+</sup>  $\rightarrow$  1,3-bisphosphoglycerate + NADH + H<sup>+</sup>
- 7 1,3-Bisphosphoglycerate + ADP  $\rightleftharpoons$  3-phosphoglycerate + ATP
- 8 3-Phosphoglycerate  $\rightleftharpoons$  2-phosphoglycerate
- 9 2-Phosphoglycerate  $\rightleftharpoons$  phosphoenolpyruvate + H<sub>2</sub>O
- 10 Phosphoenolpyruvate + ADP + H<sup>+</sup>  $\rightarrow$  pyruvate + ATP





- 1 Glucose + ATP → glucose 6-phosphate + ADP + H<sup>+</sup>
- 2 Glucose 6-phosphate ↔ fructose 6-phosphate
- 3 Fructose 6-phosphate + ATP → fructose 1,6-bisphosphate + ADP + H<sup>+</sup>
- 4 Fructose 1,6-bisphosphate ↔ dihydroxyacetone phosphate + glyceraldehyde 3-phosphate
- 5 Dihydroxyacetone phosphate ↔ glyceraldehyde 3-phosphate
- 6 Glyceraldehyde 3-phosphate + P<sub>i</sub>  $\xrightleftharpoons{\text{NAD}^+}$  1,3-bisphosphoglycerate + NADH + H<sup>+</sup>
- 7 1,3-Bisphosphoglycerate + ADP ↔ 3-phosphoglycerate + ATP
- 8 3-Phosphoglycerate ↔ 2-phosphoglycerate
- 9 2-Phosphoglycerate ↔ phosphoenolpyruvate + H<sub>2</sub>O
- 10 Phosphoenolpyruvate + ADP + H<sup>+</sup> → pyruvate + ATP



**TABLE 16.2** Examples of pathogenic obligate anaerobes

| Bacterium                      | Result of infection  |
|--------------------------------|--|
| <i>Clostridium tetani</i>      | Tetanus (lockjaw)  |
| <i>Clostridium botulinum</i>   | Botulism (an especially severe type of food poisoning)   |
| <i>Clostridium perfringens</i> | Gas gangrene (gas is produced as an end point of the fermentation, distorting and destroying the tissue) |
| <i>Bartonella hensela</i>      | Cat scratch fever (flu-like symptoms)  |
| <i>Bacteroides fragilis</i>    | Abdominal, pelvic, pulmonary, and blood infections   |

**TABLE 16.3** Starting and ending points of various fermentations

|                 |   |                |
|-----------------|---|----------------|
| Glucose         | → | Lactate        |
| Lactate         | → | Acetate        |
| Glucose         | → | Ethanol        |
| Ethanol         | → | Acetate        |
| Arginine        | → | Carbon Dioxide |
| Pyrimidines     | → | Carbon Dioxide |
| Purines         | → | Formate        |
| Ethylene glycol | → | Acetate        |
| Threonine       | → | Propionate     |
| Leucine         | → | 2-Alkylacetate |
| Phenylalanine   | → | Propionate     |

Note: The products of some fermentations are the substrates for others.



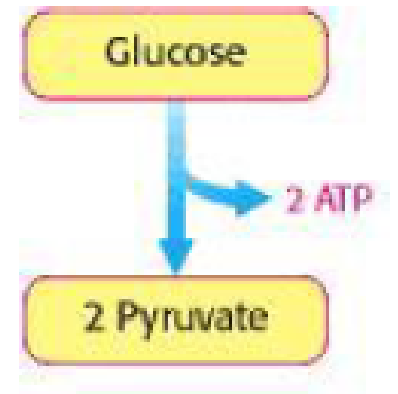
# Controle Da Glicólise

A necessidade glicolítica varia de acordo com os diferentes estados fisiológicos

Há uma ativa degradação deste açúcar após uma refeição rica em carboidratos, assim como uma acentuada redução durante o Jejum.

Deste Modo, o grau de conversão de Glicose para o Piruvato é regulado, por forma a satisfazer as necessidades celulares

# Controle Da Glicólise



- O Controle a Longo Prazo da Glicólise, particularmente no fígado, é efetuado à partir de alterações na quantidade de enzimas glicolíticas.
- O Controle a Curto Prazo é feito por alteração alostérica (concentração de produtos) reversível das enzimas e também pela sua fosforilação.



As enzimas mais propensas a serem locais de controle são as que catalisam as reações irreversíveis

Regulação alostérica destas enzimas

Glicose 6 fosfato ↓

ATP ↓

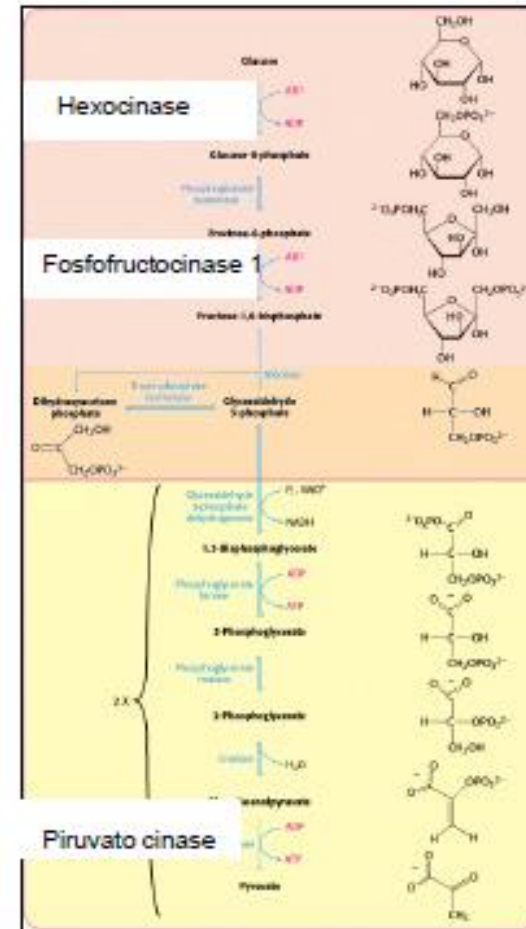
ADP ↑

AMP ↑

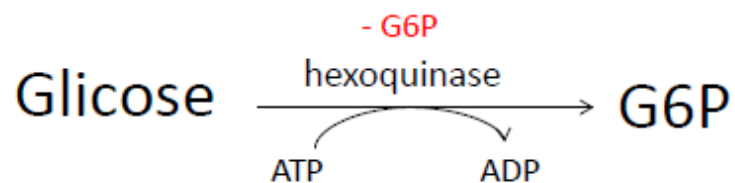
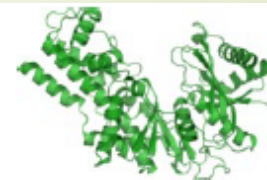
citrato ↓

Frutose 2,6 bifosfato ↑

ATP ↓  
Acetyl CoA ↓  
Ácidos graxos de cadeia longa ↓



## Hexoquinase / Glicoquinase

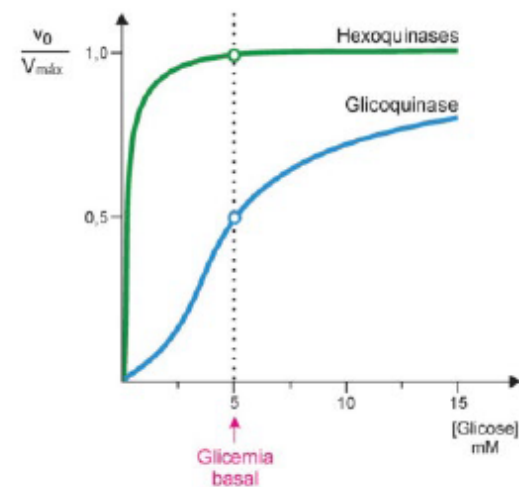


Hexoquinase:  $K_m = 0,1 \text{ mM}$

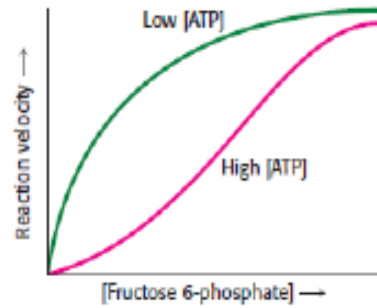
Hexoquinase IV ou Glicoquinase (fígado):  $K_m = 10 \text{ mM}$

[Glicoquinase] aumenta com insulina

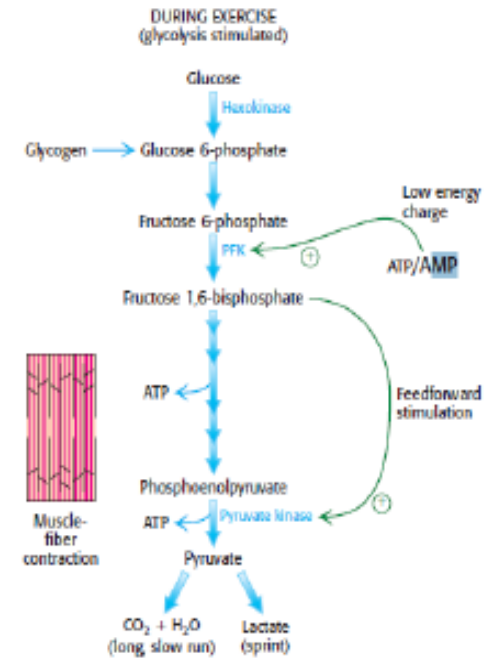
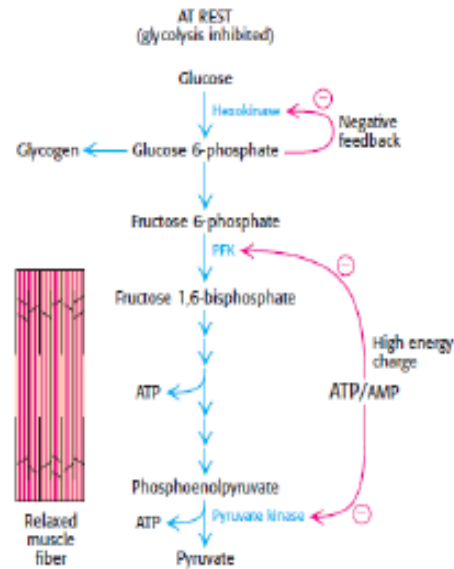
Glicoquinase não é inibida por G6P



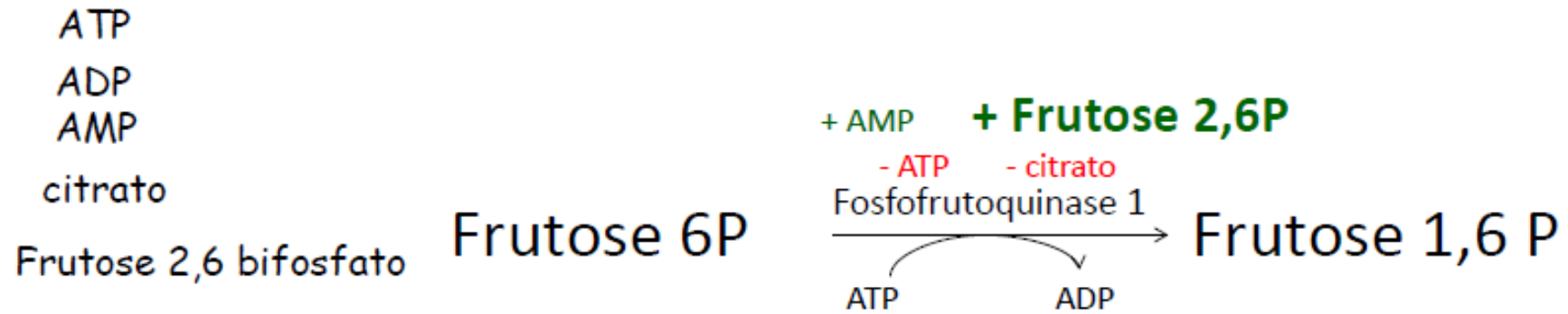
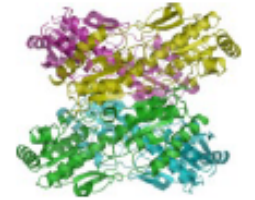
# Fosfofrutoquinase



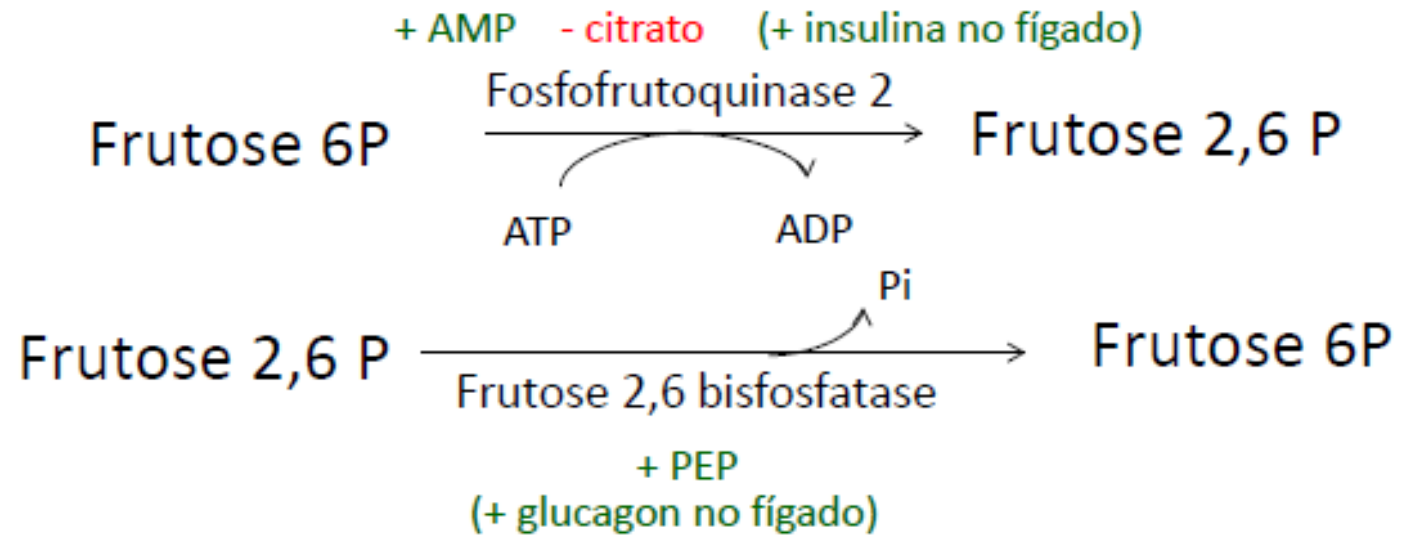
**FIGURE 16.16** Allosteric regulation of phosphofruktokinase. A high level of ATP inhibits the enzyme by decreasing its affinity for fructose 6-phosphate.



# Fosfofrutoquinase 1



## Fosfofrutoquinase 2





Stage 2

Glyceraldehyde  
3-phosphate  
dehydrogenase

P<sub>i</sub>, NAD<sup>+</sup>  
NADH

1,3-Bisphosphoglycerate

Phosphoglycerate  
kinase

ADP  
ATP

3-Phosphoglycerate

Phosphoglycerate  
mutase

2-Phosphoglycerate

Enolase

H<sub>2</sub>O

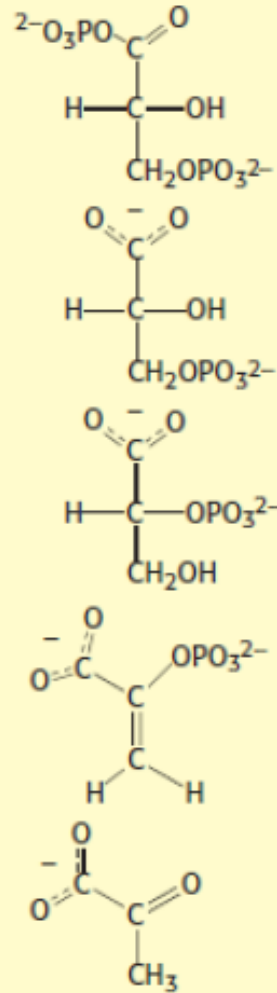
Phosphoenolpyruvate

Pyruvate kinase

ADP  
ATP

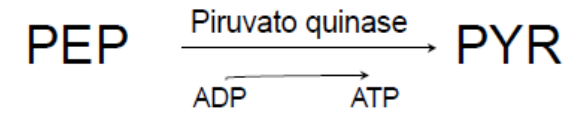
Pyruvate

2x



## Piruvato Quinase

(+ insulina no fígado) (- glucagon no fígado)  
- alanina (no fígado) - ATP  
+ Frutose 1,6P



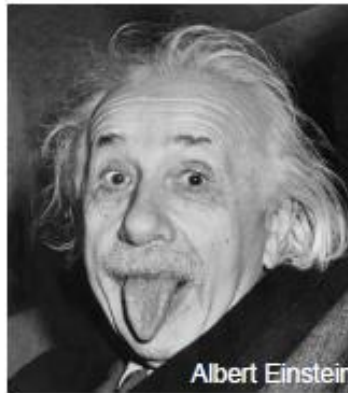
A insulina aumenta a conc. e atividade da piruvato quinase

## Alguns tecidos dependem da glicose como única fonte de energia

Hemáceas utilizam exclusivamente glicose para a produção de ATP (não tem mitocôndrias).  
Produzem lactate constantemente

Músculo utiliza preferencialmente a glicose/glicogênio durante exercício físico intenso.

O cérebro utiliza grandes quantidades de glicose.



# Intolerância a Lactose

